

جداسازی لیپوپروتئین با وزن مخصوص پایین (LDL) همراه با تغییر آن توسط یونهای مس و مالون دی‌آلدئید

دکتر رضا محمدی

دکتر محمود دوستی، عضو هیأت علمی گروه بیوشیمی، دانشکده پزشکی، دانشگاه علوم پزشکی تهران

Isolation of Low Density Lipoprotein (LDL) with its Modification by Copper Ion and Malondialdehyde (MDA)

ABSTRACT

Oxidation of low density lipoproteins (LDLs) is believed to be an important step in the pathogenesis of atherosclerosis. During oxidation, LDL particle undergoes a large number of structural changes that alters its biological properties, so it becomes atherogenic.

To study atherogenic proteins, usually two forms of modified LDLs, including Cu^{2+} - oxidized LDL (ox-LDL) and malondialdehyde (MDA) modified LDL (mal-LDL) are used. In this study, LDL was isolated from 72 ml freshly prepared plasma by Sequential Floatation Ultracentrifugation (SFU), which resulted in separation of 12.5 mg LDL protein. LDL oxidation was accomplished in Phosphate Buffered Saline (PBS) with $2\mu\text{M}$ cupric sulfate, and mal-LDL was prepared by incubating LDL in PBS with 0.5 M solution of freshly prepared MDA. These modifications were evaluated by measuring optical density at 234 nm, Thiobarbituric Acid Reactive Substances (TBARS), and electrophoretic mobility at pH 8.6.

The increase of 234 nm absorption reflected initiation of LDL oxidation. TBARS of ox-LDL and mal-LDL was 80 nM MAD/mg LDL Protein and 400 nm MDA/mg LDL Protein, respectively. Electrophoretic mobility of ox-LDL and mal-LDL, in respect to native LDL (n-LDL), were increased.

Key Words: LDL; Modified LDL; Atherosclerosis; Cu ion; Molondialdehyde

چکیده

اکسیداسیون LDL Protein ۱۲/۵ mg در یافر فسفانه سالین (PBS) با محلول $2\mu\text{M}$ سولفات مس انجام گرفت و mal-LDL با انکوباسیون LDL در PBS، همراه با محلول $5\text{ M}/5$ تازه تهیه شده مالون دی‌آلدئید تهیه گردید. ارزیابی این تغییرات بوسیله اندازه‌گیری جذب نوری در ۲۳۴ nm، مواد واکنش‌کننده با اسید تیوباربیتریک (TBARS)، و حرکت الکتروفورتیک در ۸/۶ pH به انجام رسید.

افزایش جذب نوری در ۲۳۴ nm نشانه شروع اکسیداسیون بود. TBARS نمونه‌های ox-LDL و mal-LDL به ترتیب معادل 80 nM MDA/mg LDL protein و 400 nM MDA/mg LDL protein، بودند. حرکت الکتروفورتیک ox-LDL

اکسیداسیون لیپوپروتئین‌های با وزن مخصوص پایین (LDLs) مرحله مهمی در پاتوژن آتروسکلروز می‌باشد. طی اکسیداسیون، ذره LDL دچار تغییرات ساختمانی (لیپیدی و پروتئینی) زیادی می‌شود که خصوصیات بیولوژیک آنرا تغییر می‌دهد، طوری که آتروژنیک می‌گردد.

برای مطالعه خصوصیات آتروژنیک، معمولاً دو شکل LDL تغییر یافته، شامل LDL اکسید شده با Cu^{2+} (ox-LDL) و mal-LDL (mal-LDL) بکار می‌رود. در این مطالعه، از LDL از ۷۲ ml پلاسمای تازه تهیه شده با روش اولتراسانتریفیوز شناوری متالی جدآ شد که همراه با تخلیص

متصل می‌گردد(۱،۴،۸). علاوه بر تغییرات فوق، کلسترول موجود در LDL اکسید شده و

تولید استرولهای اکسیده می‌نماید(۴،۹). همچنین apo B100 تجزیه شده و پپتیدهای کوچکتر حاصل می‌شود(۱۰،۲). ماحصل فرایندهای فوق ایجاد یک ملکول LDL تغییر یافته به طریق اکسیداتیو بنام Oxidatively modified LDL (ox-LDL) می‌باشد که دارای خصوصیات جدید می‌باشد. این خصوصیات را می‌توان به سه گروه تقسیم نمود. تغییرات شیمیایی شامل از دست رفتن آنتی‌اکسیدانها (alfa- توكوفروول و بتا- کاروتن)(۴)، کاهش اسیدهای چرب با چند پیوند دوگانه (۱۱،۸،۴). افزایش لیزوولیپتین (۵،۲)، apo B100 افزایش کلسترول اکسید شده(۱۱،۲)، قطعه قطعه شدن apo B100 و کاهش محتوی هیستیدین، لیزین، و پرولین(۲)، و افزایش مواد واکنش کننده با اسید تیوباربیتوریک با reactive substances (TBARS) بوده که همراه با تغییرات فیزیکی در ذره LDL بصورت افزایش بار منفی(۱۵،۱۱،۲) و افزایش وزن مخصوص(۱۱) (از ۱/۰۶ به ۱/۰۸ mg/ml)(۲) می‌باشد. مجموع این تغییرات منجر به ایجاد خصوصیات جدید بیولوژیک می‌گردد که ox-LDL را آتروژنیک می‌نماید. این خصوصیات عبارتند از:

عدم شناسایی توسط گیرنده اختصاصی LDL (LDL receptor)، شناسایی توسط گیرنده غیراختصاصی (Scavenger receptor)، فعالیت کموتاکتیک برای متاستیتها(۲)، مهار حرکت ماکروفازها(۳)، سیتو توکسیتی(۲،۱)، ایمونوژنیتی(۴)، تغییر بیان بعضی زنها(۴)، تسريع انقباض عروقی(۳،۱)، و تسريع تجمع پلاکتی(۴).

اکسیداسیون LDL را می‌توان در خارج بدن توسط سلولهای کشت شده و در حضور غلظت‌های نانومولار Cu²⁺ و یا حتی در محیط فاقد سلول و تنها در حضور غلظت‌های میکرومولار Cu²⁺ در بافر (PBS) Phosphate buffered saline انجام داد(۱،۴). طی فرایند اکسیداسیون یکی از تغییرات اساسی ایجاد شده در LDL مشتق‌سازی عوامل -۸- آمینو ریشه‌های جانبی لیزین apo B100 با MDA می‌باشد که مهمترین خصوصیت آتروژنیک ox-LDL یعنی افزایش برداشت توسط ماکروفازها همراه با تشکیل سلول کفی شکل را سبب می‌شود(۱۵). همچنین این تغییر منجر به ایجاد شاخص‌های جدید آتشی‌زنیک و بدنبال آن تولید اتوآنتی‌بادی ضد آن می‌گردد(۱۶). از این‌رو برای بررسی اختصاصی‌تر خصوصیات حاصل از این تغییر، می‌توان در آزمایشگاه و بدون انجام فرایند

mal-LDL، در مقایسه با LDL طبیعی (n-LDL)، افزایش نشان داد.

واژه‌های کلیدی : LDL، LDL تغییر یافته، آترواسکلرroz؛ Cu²⁺؛ مالون دی‌آلثید

مقدمه

اخیراً توجه زیادی به ارتباط بین فرایندهای اکسیداتیو و ایجاد تنگی عروق شریانی شده است(۱-۵). تغییرات اکسیداتیو لیپوپروتئینهای با وزن مخصوص پایین یا Low Density Lipoproteins (LDLs) منجر به ایجاد خصوصیات فیزیکو‌شیمیایی و فراورده‌های بیولوژیکی جدید می‌شود که آنرا آتروژنیک‌تر می‌نماید(۲). فرایند اکسیداسیون LDL شامل سه مرحله شروع، ازدیاد، و تخریب می‌باشد(۴). اکسیداسیون در فسفولیپیدهای سطحی ذره LDL شروع می‌گردد. مکانیسم دقیق شروع اکسیداسیون LDL در داخل بدن کاملاً شناخته شده نمی‌باشد(۲،۱)، هرچند برای شروع آن، سلول می‌بایست پتانسیل اکسیدکننده را ایجاد نماید. یک احتمال، ایجاد رادیکالهای آزاد اکسیژن نظری آئیون سوپراکسید (O₂⁻) توسط سیتوکروم P459، طی زنجیره تنفس سلولی در میتوکندری، یا توسط یونهای فلزی نظری مس و آهن می‌باشد(۴،۳،۲،۱). احتمال دیگر، اکسیداسیون مستقیم توسط آنزیم لیپو‌اکسیژناز است. اکسیداسیون ممکن است در لیپیدهای موجود در LDL صورت گرفته و یا ابتدا لیپیدهای سلولی اکسیده و سپس پراکسیدهای لیپیدی حاصل به LDL موجود در محیط منتقل می‌شود(۳،۲).

بعد از ایجاد پراکسیدهای لیپیدی در داخل فسفولیپیدهای ذره LDL، در اثر فعالیت فسفولیپاز A2 موجود در آپوپروتئین 00 B100 (apo B100) ذره LDL لسیتین موجود در لیپید تشکیل دهنده LDL با آزاد شدن اسید چرب اکسید شده از کربن موقعیت ۲ گلیسرول و تبدیل آن به لیزوولیپتین، تجزیه می‌گردد(۴،۶،۷). با این عمل، پراکسیدهای لیپیدی آزاد شده و با انتشار راحت‌تر در محیط لیپیدی در ذره LDL داخل می‌گردد. بعد از مرحله ازدیاد، تخریب وسیع اجزاء تشکیل دهنده ذره LDL صورت می‌گیرد که شامل قطعه قطعه شدن پراکسیدهای لیپیدی حاصل به قطعات آلثیدی نظری (4-HNE) و 4-hydroxynonenal (MDA) می‌باشد که شدیداً واکنشگر (reactive) و فعال بوده و به apo B100 عامل -۸- آمینو ریشه‌های جانبی لیزین موجود در

ب) جداسازی

برای جداسازی LDL از نمونه پلاسمای تازه تهیه شده، روش اولتراسانتریفیوژ شناوری مرحله‌ای و متوالی یا Sequential Ultracentrifugation (SFU) مورد استفاده قرار گرفت (۲۲، ۲۱). با توجه به وزن مخصوص LDL و برای جلوگیری از آلودگی نمونه با IDL و a[LP(a)] از Lipoprotein جداسازی در دامنه وزن مخصوص $1/0.20 - 1/0.55 \text{ g/ml}$ انجام گرفت (۲۴). در اولین مرحله جداسازی، ابتدا وزن مخصوص پلاسما توسط محلول غلیظ ۳۸٪ وزنی برمید سدیم با وزن مخصوص $1/0.386 \text{ g/ml}$ (حاصل از انحلال $526/7 \text{ g}$) برمید سدیم و 100 ml EDTA در یک لیتر آب (مقطع) از $1/0.06 \text{ g/ml}$ تا $1/0.20 \text{ g/ml}$ افزایش داده شد. سپس پلاسما در لوله‌های پلی‌آلومری از نوع quick-seal تقسیم و در اولتراسانتریفیوژ Beckman با استفاده از روتور زاویه ثابت Ti ۹۰ در 40000 rpm (99300 g)، برای مدت ۱۸ ساعت در دمای 15°C درجه سانتی‌گراد سانتریفیوژ گردید. بعد از اولین مرحله اولتراسانتریفیوژ، VLDL و IDL به علت داشتن وزن مخصوص کمتر از $1/0.20 \text{ g/ml}$ ، بصورت یک لایه نسبتاً شیری و کدر در سطح شناور شده با دقت و احتیاط کامل با استفاده از پی‌پت پاستور کاملاً جدا گردید. در مرحله دوم جداسازی، مجدداً وزن مخصوص پلاسما با استفاده از محلول غلیظ ۳۸٪ وزنی برمید سدیم از $1/0.20 \text{ g/ml}$ به $1/0.55 \text{ g/ml}$ بصورت یک لایه زرد شفاف شناور در سطح ظاهر شده با دقت و احتیاط کامل و با استفاده از پی‌پت پاستور استخراج گردید.

پ) تعیین مقدار LDL جدا شده

هنگام اکسیداسیون LDL با Cu^{2+} و یا طی مشتق‌سازی آن با MAD، برای ایجاد شرایط مناسب می‌باشد مقدار مشخصی از LDL مورد استفاده قرار گیرد. از این‌رو تعیین مقدار LDL در نمونه جدا شده و تنظیم غلظت آن برای مراحل بعدی امری ضروری است. بخاطر تنوع ترکیب و اندازه LDL، بنظر می‌رسد بهترین معیار مقدار LDL، اندازه‌گیری apo B100 می‌باشد، زیرا در هر ذره LDL یک مول از این پروتئین وجود دارد (۲۵). جهت اندازه‌گیری پروتئین LDL نیاز به یک روش با حساسیت بالا می‌باشد. روش پیشنهادی روش لوری (Lowry) می‌باشد، که دامنه حساسیت آن $1-30 \mu\text{g/ml}$ است (۲۰). این روش ترکیبی از دو واکنش بیوره و فولین - سیوکالتور می‌باشد که در آن ابتدا یون مس با پیوندهای پیتیدی ایجاد کمپلکس رنگی نموده و در مرحله بعد با اضافه نمودن

اکسیداسیون، عمل مشتق‌سازی را با MDA انجام داد و بدین ترتیب تولید نوع تغییر یافته دیگری از LDL بنام malonaldehyde modified LDL (mal-LDL) نمود.

روش و مواد

الف) نمونه

به علت محتوی آنتی‌اکسیدانی یا ماهیت اسیدهای چرب غیراشبع موجود در ذره LDL، حساسیت LDL افراد مختلف ممکن است متفاوت باشد، از این‌رو عمل جداسازی LDL بر روی مخلوطی از نمونه‌های پلاسما گرفته شده از داوطلبین (plasma pooled) صورت گرفت (۱۷، ۱۳). همچنین به علت وجود احتمال اکسیداسیون، تخریب پروتولیتیک و آلودگی باکتریال LDL پلاسمایی طی مرحله جداسازی و بعد از آن، مخلوطی از عوامل آنتی‌اکسیدان، آنتی‌پروتولیتیک و آنتی‌باکتریال به نمونه پلاسمایی تهیه شده اضافه گردید (۱۸). عوامل محافظ مورد استفاده شامل Ethylenediaminetetraacetic acid (EDTA) با غلظت نهایی $1/2 \text{ g/l}$ بعنوان ضدانعقاد، ضد اکسیداسیون (۱۹) و ضد پروتولیز (۲۰)، Phenyl Methyl Sulfonyl Fluoride (PMSF) با غلظت نهایی 1 mM (محلول در متانول خالص) بعنوان پروتولیز، Butylated Hydroxy Toluene (BHT) با غلظت نهایی 10 mM (محلول در اتانول خالص) بعنوان آنتی‌اکسیدان، و سه عامل آنتی‌باکتریال سدیم ازید با غلظت نهایی 1 g/l ، جنتامایسین با غلظت نهایی 80 mg/l و کلرامفینیکل با غلظت نهایی 80 mg/l بود (۱۸).

در عمل ابتدا مخلوطی از عوامل فوق به غیر از PMSF به نحوی به یک ارلن مایر اضافه شده که بعد از اضافه نمودن 200 ml خون تام، غلظت هر یک از عوامل فوق به میزان ذکر شده رسید. نمونه خون از ۱۰ نفر داوطلب مرد سالم جوان با میانگین سنی $21/3 \pm 1/8 \text{ (mean} \pm \text{SD)}$ سال بعد از ناشایی شبانه، گرفته شد. بعد از مخلوط نمودن خون تام با عوامل محافظ، بلافاصله نمونه خون به لوله‌های سانتریفیوژ منتقل و در 3000 rpm به مدت ۲۰ دقیقه سانتریفیوژ گردید. سپس پلاسما از گلوبولهای خونی جدا و PMSF تازه تهیه شده طوری به آن اضافه گردید که غلظت نهایی ذکر شده بدست آمد (۱۸). حجم پلاسمای جدا شده معادل 78 ml بود که آن برای جداسازی LDL تحت اولتراسانتریفیوژ قرار گرفت.

ج) ارزیابی LDL جدا شده و LDLهای تغییریافته
همانطور که در مقدمه اشاره شد، بدنیال اکسیداسیون LDL تغییرات فیزیکی و شیمیایی در آن صورت می‌گیرد که می‌توان از آنها جهت ارزیابی کیفیت اکسیداسیون و تغییرات LDL استفاده نمود. در این مطالعه سه روش متداول مورد بررسی قرار گرفت (۲۹):

۱) افزایش جذب نوری در طول موج ۲۳۴ nm: شروع پراکسیداسیون لیپیدی در اسیدهای چرب غیراشباع حاوی چند پیوند دوگانه در LDL، همراه با تغییر آرایش پیوندهای دوگانه و به هم تزدیک شدن این پیوندها (تشکیل conjugated diene) می‌باشد. این تغییر همراه با افزایش جذب نوری در طول موج ۲۳۴ nm است که بعنوان معیاری از شروع اکسیداسیون LDL مورد استفاده قرار گرفت (۲۸، ۲۵، ۱۷، ۵، ۳).

۲) واکنش تیوباریتوريک اسید (TBA): با ادامه یافتن پراکسیداسیون لیپیدی در اسیدهای چرب غیراشباع موجود در LDL و با قطعه قطعه شدن پراکسیدهای لیپیدی حاصل، ایجاد قطعات آلدییدی نظیر MDA می‌گردد که از جستجوی آنها می‌توان بعنوان معیاری از پراکسیداسیون لیپیدی استفاده نمود. روش مورد استفاده برای جستجوی این قطعات، واکنش TBA می‌باشد که در آن یک ملکول MDA با دو مولکول TBA در pH ۲-۳ و آب جوش واکنش نموده و تولید کمپلکس صورتی با حداقل جذب نوری (OD) در طول موج ۵۳۵ nm می‌نماید. از MDA تازه تهیه شده با غلظتهاي $1\text{-}10 \mu\text{M}$ برای رسم منحنی استاندارد استفاده شد (۵).

۳) الکتروفورز: برای تعیین خلوص پروتئینی LDL جدا شده و نیز برای تعیین کیفیت LDL تغییریافته به روش اکسیداتیو با Cu^{2+} ، یا به روش تغییر و مشتق‌سازی با MDA، از جداسازی الکتروفورتیک اجزاء نمونه تهیه شده بر اساس بار الکتریکی استفاده گردید. همانطور که در مقدمه اشاره شد، بدنیال اتصال MDA حاصل از تجزیه پراکسیدهای لیپیدی به عوامل ۴- آمینو ریشه‌های جانبی لیزین در میدان الکتروفورتیک خواهد بود (۴، ۳۱، ۱۵، ۱۲). حرکت سریعتر در میدان الکتروفورتیک بار منفی ذره LDL (۴)، الکتروفورز بر روی پلیت استات سلولز، با استفاده از بافر باریتیال با pH ۸/۶ در ولتاژ V ۱۸۰ برای مدت ۲۰ دقیقه انجام گرفت.

معرف فولین، شدت رنگ تشدید می‌گردد. جذب نوری (OD) در طول موج ۷۵۰ nm اندازه‌گیری شد و محلول سرم آلبومین گاوی (Bovin Serum Albumin, BSA) با غلظت $300 \mu\text{g/ml}$ برای رسم منحنی استاندارد مورد استفاده قرار گرفت (۲۰).

ت) تهیه ox-LDL

اکسیداسیون LDL در حضور یون Cu^{2+} بعنوان یک اکسیدکننده نسبتاً قوی، صورت گرفت. برای این عمل ابتدا می‌باشد عوامل آنتی اکسیدان شامل EDTA و BHT از نمونه LDL استخراج شده جدا گردد. جداسازی با روش دیالیز در مقابل PBS با غلظت فسفات 10 mM pH ۷/۲ و حاوی عوامل ضد باکتریال با غلظتهاي ذکر شده صورت گرفت (۲۶). بعد از دیالیز، غلظت پروتئینی LDL دیالیز شده با روش لوری اندازه‌گیری شد و غلظت آن بر اساس میزان پروتئین در $50 \mu\text{g/ml}$ تنظیم گردید (۱۷). عمل اکسیداسیون LDL با استفاده از محلول $2 \mu\text{M}$ سولفات مس در ۳۷ درجه سانتیگراد برای مدت ۱۸ ساعت صورت گرفت. بعد از این مدت، برای توقف اکسیداسیون، EDTA با غلظت نهایی $1/2 \text{ g/l}$ به نمونه LDL اضافه گردید (۲۹، ۲۸، ۲۷).

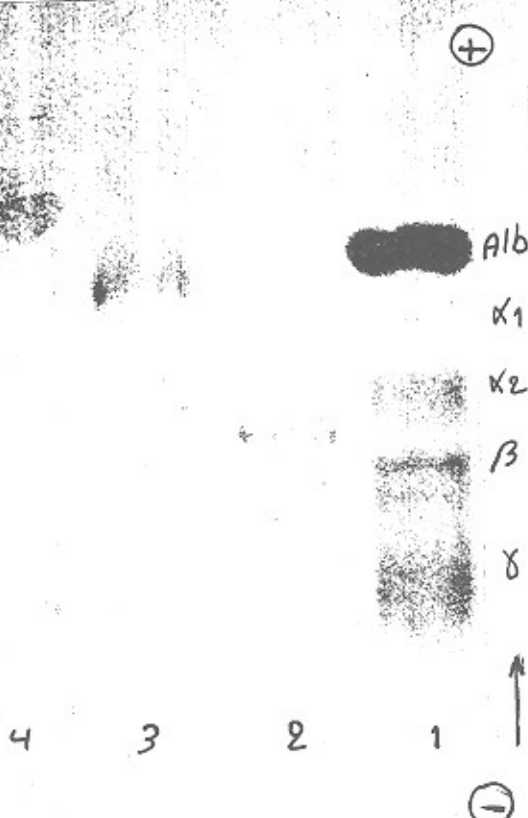
ث) تهیه mal-LDL

برای تغییر و مشتق‌سازی ریشه‌های جانبی لیزین در apo B100 موجود در LDL با MDA، نیاز به محلول $5\text{/}0 \text{ M}$ تازه تهیه شده MDA می‌باشد. MAD تازه از هیدرولیز اسیدی محلول مالون دی‌آلدیید بیس دی‌متیل استال حاصل می‌گردد. در عمل $1/2 \text{ ml}$ محلول مالون دی‌آلدیید بیس دی‌متیل استال با $1/4 \text{ ml}$ اسید کلریدریک N ۴ و 40 ml آب مقطر مخلوط و به مدت ۱۰ دقیقه در ۳۷ درجه سانتیگراد قرار داده شد. سپس pH محلول با استفاده از سود N ۱ تا $1/4$ افزایش داده شد و نهایتاً توسط آب مقطر حجم محلول به 100 ml رسانده شد (۳۰). برای تهیه mal-LDL، محلول LDL با محلول تازه تهیه شده MDA، با نسبت ثابت $1\text{/}1 \mu\text{M}$ محلول MDA به ازاء هر میلی‌گرم LDL، مخلوط و به مدت ۳ ساعت در ۲۱ درجه سانتیگراد قرار داده شد (۳۰، ۲۸، ۲۷).

بعد از مشتق‌سازی MDA با LDL با مقادیر اضافی و آزاد PBS با غلظت 10 mM pH ۷/۲ و حاوی عوامل آنتی اکسیدان و آنتی باکتریال با غلظتهاي ذکر شده، برداشت گردید (۳۰).

اکسید شده نسبت به LDL طبیعی افزایش یافته و بین باندهای آلفا یک گلوبولین و آلبومین قرار گرفت که دلیلی بر افزایش بار منفی ox-LDL طی اکسیداسیون می باشد.

یافته ها



شکل ۱- الکتروفورز پروتئین بر روی استات سلولز pH ۸/۶ خط اول از سمت راست غونه سرم طبیعی با پنج باند مشخص به ترتیب از بالا به پایین (از پیشترین تا کمترین حرکت بطرف قطب مثبت) شامل آلبومین، آلفا یک گلوبولین، آلفا دو گلوبولین، بتا گلوبولین و گاما گلوبولین. خط دوم غونه LDL استخراج شده، با حرکت در ناحیه بین بتا گلوبولین و آلفا دو گلوبولین خط سوم ox-LDL تهیه شده، با حرکت در ناحیه بین آلفا یک گلوبولین و آلبومین. خط چهارم mal-LDL تهیه شده، با حرکت در ناحیه بعد از آلبومین

پ) mal-LDL تهیه شده شکلی از mal-LDL می باشد که در آن ریشه های جانبی لیزین apo B100 توسط MDA مازاد اضافه شده و بدون انجام اکسیداسیون در ذره LDL در محیط آزمایشگاه مشتق سازی می گردد. در عمل مقادیر مازاد MDA تازه تهیه شده (جهت به حد اکثر رساندن مشتق سازی ریشه های جانبی لیزین) به نمونه LDL در حضور عوامل اکسیداسیون (برای مهار اکسیداسیون LDL) اضافه شد. تحت این شرایط حدود ۷٪ ریشه های جانبی لیزین با MDA مشتق سازی می گردد. بعد از برداشت MDA اضافی از مخلوط

الف) LDL/استخراج شده

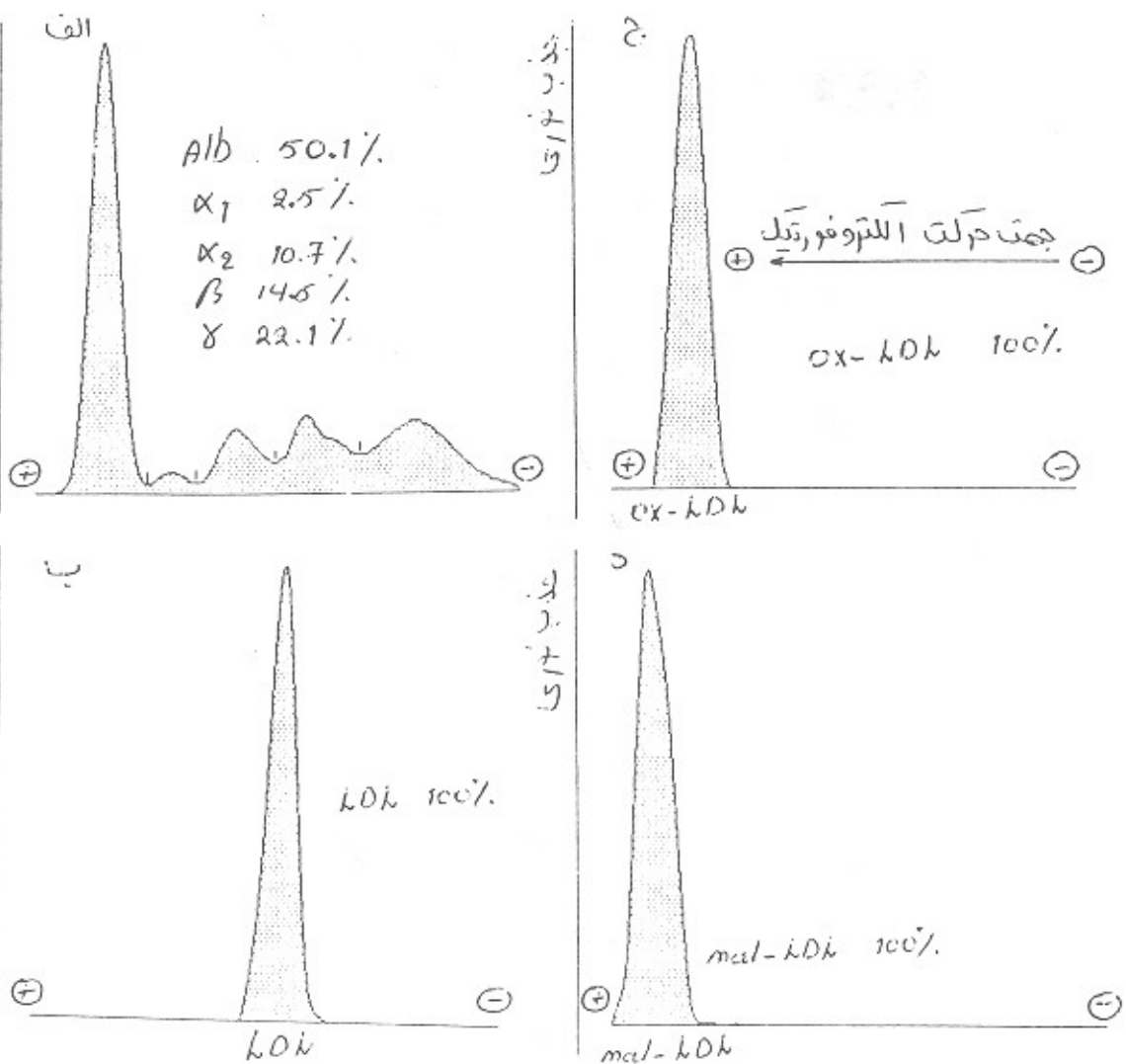
برای جداسازی ۷۲ ml LDL پلاسمای تازه تهیه شده حاوی عوامل آنتی اکسیدان، آنتی پروتولیتیک و آنتی باکتریال، تحت عمل اولتراسانتریفوژ با روش SFU قرار گرفت. بعد از جداسازی، تعیین مقدار LDL بدست آمده، با اندازه گیری پروتئین نمونه با روش لوری انجام شد، میزان بدست آمده بر حسب پروتئین LDL معادل ۱۲/۵ mg بود. برای تأیید کیفیت LDL جدا شده دو روش مورد استفاده قرار گرفت، یکی بررسی حرکت الکتروفورتیک پروتئین (های) موجود در نمونه استخراج شده و دیگری واکنش pH ۸/۶ و TBA. در الکتروفورز پروتئین بر روی استات سلولز در pH ۸/۶ و ولتاژ ۱۸۰ V، تنها یک باند در ناحیه بین بتا گلوبولین و آلفا دو گلوبولین مشاهده گردید (شکل ۱ و ۲- ب) که اولاً به علت عدم وجود باند دیگر، خلوص لیپوپروتئین را نشان می دهد و ثانیاً بعلت عدم تغییر حرکت الکتروفورتیک LDL استخراج شده، پراکسیداسیون لیپیدی و افزایش بار منفی آن رد می شود. واکنش TBA انجام شده نیز منفی بود که تأیید دیگری برای عدم وجود پراکسیداسیون لیپیدی در نمونه استخراج شده می باشد.

ب) ox-LDL تهیه شده

برای ارزیابی کیفیت اکسیداسیون LDL توسط یونهای Cu^{2+} در محیط آزمایشگاه، سه روش متکی بر تغییرات ساختمانی ذره LDL طی اکسیداسیون، شامل بررسی جذب نوری در طول موج ۲۳۴ nm، واکنش TBA و بررسی حرکت الکتروفورتیک، مورد استفاده قرار گرفت. حدود ۳۰ دقیقه بعد از اضافه نمودن سولفات مس به نمونه LDL، جذب نوری در طول موج ۲۳۴ nm شروع به افزایش نموده و ظرف ۹۰ دقیقه به حد اکثر میزان خود رسید. افزایش جذب نوری در طول موج ۲۳۴ nm همزمان با شروع پراکسیداسیون اسیدهای چرب غیراشاعر با چند پیوند دوگانه و به هم تزدیک شدن پیوندهای دوگانه آنها می باشند. نتایج بدست آمده قابل مقایسه با سایرین است (۲۵). در واکنش TBA میزان MDA موجود در نمونه LDL معادل $80 \text{ nM MDA/mg LDL protein}$ بود که نشانه اکسیداسیون مناسب LDL می باشد. تأیید بیشتر اکسیداسیون مناسب LDL با الکتروفورز ox-LDL تهیه شده بر روی استات سلولز در pH ۸/۶ و ولتاژ ۱۸۰ V صورت گرفت. همانطور که در شکل ۱ و ۲ نشان داده شده است، حرکت الکتروفورتیک LDL

می باشد. در الکتروفورز پروتئین بر روی استات سلولز در pH ۸/۶ نیز mal-LDL تولید شده حرکت الکتروفورتیک بیشتری نسبت به ox-LDL نشان داد و در ناحیه بعد از آلبومین ظاهر شد (شکل ۱ و ۲-د) که این نیز دلیلی بر مشتق سازی مناسب apo B100 با MDA بوده و بتایراین دلیل افزایش بیشتر بار منفی mal-LDL می باشد.

واکنش توسط روش دیالیز، میزان MDA مشتق سازی شده در LDL با آزمایش TBA مورد ارزیابی قرار گرفت و میزان آن بر حسب LD Protein برابر MDA بود ۴۰۰ nM/mg LD Protein MDA مقدار بدست آمده با مقدار حاصل از اکسیداسیون LDL توسط یون Cu^{2+} (یعنی 80 nM MDA/mg LDL protein) نشانده شد (شکل ۱ و ۲-د) مشتق سازی مناسب ریشه های جانبی لیزین apo B100 با MDA بود.



شکل ۲-نمودار الکتروفورز پروتئین

الف - نمونه سرم طبیعی با پنج باند مشخص

ب - نمونه LDL جدا شده با حرکت در ناحیه بین بتا گلوبولین آلفا ۱ گلوبولین

ج - نمونه ox-LDL تهیه شده با حرکت در ناحیه بین آلفا ۱ گلوبولین و آلبومین

د - نمونه mal-LDL تهیه شده با حرکت بعد از ناحیه آلبومین

بحث

می باشد (۳۳، ۳۴). این بیماری یک فرایند پیشرونده می باشد که عموماً در دوران کودکی شروع شده و تظاهرات بالینی آن در اواسط نا اواخر دوران بزرگسالی ظاهر می شود (۲۳).

تنگی شریانهای قلبی در اثر رسوب لیپیدها (آتروسکلروز) سمعتوان عامل اصلی مرگ و میر در جوامع غربی مطرح

بدین ترتیب برای mal-LDL می‌توان نقشی در پاتوژن آرتواسکلروز در نظر گرفت. تغییر LDL توسط MDA اهمیت خاصی دارد زیرا علاوه بر تولید آن طی پراکسیداسیون لیپیدها، بطور فیزیولوژیک، طی کاتابولیسم اسید آراثیدونیک توسط پلاکتها خونی در محل صدمه آندوتیوم شریانی، تولید می‌گردد.

در این مقاله روش استخراج و تخلیص LDL با روش اولتراسانتریفیوز از نمونه پلاسما و تغییر آن به ox-LDL و mal-LDL شرح داده شده است. نتایج حاصل از افزایش جذب نوری در ۲۳۴ nm بدنبال شروع اکسیداسیون LDL توسط یونهای Cu^{2+} موافق با نتایج گزارش شده توسط al Klein veld et (۳۰) و Hinnerger et al (۲۵) می‌باشد. هرچند نتایج گزارش شده در مورد میزان TBARS بسیار متفاوت بوده و دامنه آن از ۳ تا ۴۰۰ nM MDA/mg LDL protein می‌باشد (۳۰، ۲۹، ۶، ۵). این متفاوت ممکن است ناشی از شرایط متفاوت مورد استفاده برای اکسیداسیون LDL نظری غلظت Cu^{2+} و غلظت LDL باشد. نتایج بدست آمده افزایش حرکت الکتروفورتیک LDL تغییر یافته مشابه سایرین می‌باشد (۳۴، ۳۱، ۱۵، ۱۲). Holvoet et al. افزایش حرکت الکتروفورتیک LDL و ox-LDL نسبت به mal-LDL طبیعی را نشان داده و گزارش نموده است که این افزایش حرکت برای mal-LDL نسبت به ox-LDL بیشتر می‌باشد (۲۴).

علاوه بر خصوصیات آرتوژنیک ذکر شده در بالا، یکی دیگر از خصوصیات مهم ox-LDL که ممکن است در این فرایند شرکت نماید، خاصیت ایمونوژنیسیتی ox-LDL می‌باشد. بدنبال مشتق‌سازی عوامل ۴ - آمینو ریشه‌های جانبی لیزین apo B100 توسط MDA، ایجاد شاخص‌های آنتی‌ژنیکی جدید می‌شود که سیستم ایمنی را تحریک نموده و منجر به تولید اتوآنتی‌بادیهای ضداین شاخص‌ها می‌گردد. اتوآنتی‌بادیهای تولیدی می‌توانند از طریق ایجاد کمپلکس ایمنی و تسریع برداشت آنها توسط ماکروفاژها، در آرتوژن نقش داشته باشد.

تاکنون دو فرضیه شامل «فرضیه ارتشاج لیپیدی» و «فرضیه صدمه آندوتیال» در ایجاد تنگی شریانهای قلبی بیشتر مورد توجه بوده است که اولی به نقش هیپرکلسترولمی و دومی به نقش صدمه آندوتیال به عنوان عامل اصلی و کلیدی در ایجاد ضایعه اشاره دارد (۴، ۲). اخیراً توجه زیادی به ارتباط بین فرایندهای اکسیداسیو و ایجاد تنگی شریانی شده است. هر سه سلول شرکت کننده در فرایند آرتوژن، یعنی سلولهای آندوتیال شریانی، سلولهای عضله صاف، و ماکروفاژها، قادر به اکسید نمودن LDL می‌باشند (۳).

فرضیه ارتشاج لیپیدی ممکن است برای ایجاد رگه چربی کافی بوده و فرضیه صدمه آندوتیال ممکن است علت پیشرفت رگه چربی به ضایعات پیشرفت‌تر باشد. از طرفی دیگر با در نظر گرفتن خصوصیات ox-LDL، عناصر کلیدی این دو فرضیه یکی شده و منجر به پیشرفت ضایعه می‌گردد. بدین ترتیب بعنوان یک عامل مهم و احتمالاً اجباری در ایجاد ضایعات آرتواسکلروزیک، ایفاء نقش می‌نماید (۱). از این‌رو، علاوه بر غلظت پلاسمایی LDL می‌باشد عوامل دیگری که حساسیت LDL به اکسیداسیون را تعیین می‌نمایند، نظری غلظت عوامل آنتی‌اکسیدان در گردش خون و در خود ذره LDL و محتوی اسید چرب، LDL، بعنوان عوامل مؤثر در ایجاد تنگی عروق شریانی مورد توجه قرار گیرند.

منابع

- Witztum J. The oxidation hypothesis of atherosclerosis. Lancet 1994; 344: 793-795.
- Steinberg D., Parthasarathy S., Carew T., et al. Beyond cholesterol: modifications of low density lipoprotein that increase its atherogenicity. N Engl J Med. 1989; 320: 915-924.
- Navab M., Judith A., Watson D., et al. The yin and yang of oxidation in the development of fatty streak. Arterioscler Thromb Vasc Biol. 1996; 16: 831-842.
- Witztum J, Steinberg D. Role of oxidized low density lipoprotein in atherosclerosis. J Clin Invest. 1991; 88: 1785-1792.
- Weisser B., Locher R., Mengdon T., et al. Oxidized low density lipoproteins in atherogenesis : possible mechanisms of action. J Cardiovasc Pharmacol. 1992; 19 (suppl 2): 4-7.
- Parthasarathy S., Barnett J. Phospholipase A2 activity of low density lipoprotein: evidence for an intrinsic phospholipase A2 activity of apoprotein B-100. Proc Natl Acad Sci. 1990; 87: 9741-9745.
- Steinbrecher U., Parthasarathy S., Leake D., et al. Modification of low density lipoprotein by endothelial cells involves lipid

- peroxidation and degradation of low density lipoprotein phospholipids. Proc. Natl. Acad. Sci: 1984; 81: 3883-3887.
- 8- Palink W., Rosenfeld M., Yla-Heruala S., et al. Low density lipoprotein undergoes oxidative modification in vivo. Proc. Natl. Aca. Sci. 1989; 86: 1372-1376
 - 9- Aviram M. Modified forms of low density lipoprotein and atherosclerosis. Atherosclerosis. 1993; 98: 1-9.
 - 10- Fong L., Parthasarathy S., Witztum J., et al. Nonenzymatic oxidative cleavage of peptide bonds in apoprotein B100. J. Lipid Res. 1987; 28: 1466-1477.
 - 11- Kanzhi L., Cuddy E., Grant N. Oxidative status of lipoproteins in coronary disease patients. Am. Heart J. 1992; 123: 285-290.
 - 12- Haberland M., Fogelman A., Edwards P. Specificity of receptor mediated recognition of malondialdehyde - modified low density lipoproteins. Proc. Natl. Aca. Sci. 1982; 79: 1712-1716.
 - 13- Haberland M., Christopher Li, Fogelman A. Role of lysines in mediating interaction of modified low density lipoproteins with the scavenger receptor of human monocyte macrophages. J. Biol. Chem. 1984; 259:11305-11311.
 - 14- Parthasarathy S., Fong L., quinn M., et al. Oxidative modification of LDL: comparison between cell-mediated and copper mediated modification. Eur. Heart J. 1990; 11 (suppl E): 83-87.
 - 15- Fogelman A., Shechter L., seager J. et al. Malondialdehyde alteration of low density lipoproteins leads to cholestry ester accumulation in human monocyte-macrophages. Proc. Natl. Acad. Sci. 1980; 77: 2214-2218.
 - 16- Gonon B., Fallon J., Baker S., Immunogenicity of molondialdehyde-modified low density lipoproteins. Atherosclerosis 1987; 65: 265-272.
 - 17- Seccia M., Albano E., Maggi E., et al. Circulating autoantibodies recognizing peroxidase-oxidized low density lipoprotein. Arterioscler. Thromb. Vasc. Biol. 1997; 17: 134-140
 - 18- Edelstein C. and Scanu A. Pracautinary measures for collecting blood destined for lipoprotein isolation. Methods in Enzymalogy 1986; 128: 151-155.
 - 19- Lamb D. and Leake D. The effect of EDTA on oxidation of low density lipoprotein. Atherosclerosis 1992; 94: 35-42.
 - 20- Copeland R. Methods for protein analysis. New York, Chapman & Hall 1994; 1-44.
 - 21- Havel J., Eder A., and Bragdon J. The distribution and chemical composition of ultracentrifugally separated lipoproteins in human serum. J. Clin Invest. 1955; 34: 1345-1353.
 - 22- Bergmark C., Faire U., Lefvert A., et al. Patients with early-onset peripheral vascular disease have increased levels of autoantibodies against oxidized LDL. Arterioscler. Thromb. Vasc. Biol. 1995; 15: 441-445.
 - 23- Schumaker V. and Puppione D. Sequential flotation ultracentruugation. Methods in Enzymology 1989; 128: 155-170.
 - 24- Palinski W., Yla-Hertuala S., Rosenfeld M., et al. Antisera and monoclonal antibodies specific for epitopes fenerated during oxidative modification of low density lipoprotein. Atherosclerosis 1990; 10: 325-335.
 - 25- Hininger I., David A., Laporte F., et al. Measurment of low density lipoprotein oxidation. Analysis of free radicals in biological systems Switzerland, Birkauer Verlag Basel 1995; 203-211.
 - 26- Steinbercher U. Oxidation of human low density lipoprotein results in derivatization of lysine residue of apolipoprotein B by lipid peroxide decopmposition products. J. Biol. Chem. 1987; 262: 3603-3608.
 - 27- Maggi E., Chiesa R., and Melissano G. Autoantibodies against oxidatively - modified LDL in uremic patients undergoing dialysis. Kidney Interational. 1994; 46: 896-876.
 - 28- Maggi E., Marchesi B., Ravetta V., et al. Presence of autoantibodies against oxidatively modified low density lipoprotein in essential hypertension : a biochemical signature of an enhanced in vivo low density lipoprtoein oxidation. Journal of Hypertension 1995; 13: 129-138.
 - 29- Maggi E., Chiesa R., Melissano G., et al. LDL oxidation in patients with severe carotid atherosclerosis. Arterioscler. Thromb. 1994; 14: 1892-1899.
 - 30- Kleinveld H., Hak-Lemmers H., Stalenhoef A., et al. Improved measurement of low density lipoprotein susceptibility to copper-induced oxidation: application of a short procedure for isolating low density lipoprotein. Clin. Chem. 1992; 38: 2066-2072.
 - 31- Minh N., Sack M., Moutsatsos G., et al. Autoantibody titers to oxidized low density lipoprotein in patientst with coronary atherosclerosis. AM. Heart J. 1996; 131: 663-667.
 - 32- Brown M. and Goldstein J. How LDL receptors influence cholesterol and atherosclerosis. Scientific American 1984; 251: 52-66.
 - 33- Braunwald E. Heart Disease, 5th edition, Philadelphia, Saunders, 1997; 1105-1125.
 - 34- Holvoet P., Perez g., Zhao Z., et al. Malondialdehyde - modified low density lipoprotein in patients with atherosclerosis disease. J. Clin. Invest. 1995; 95: 2611-2619.